

스펙트럼 영역에서 반복법을 이용한
자기장 미리 유도전류 계산

양승인 나명진 전주성 배덕수 윤의중

숭실대학교 전자공학과

Computation of induced currents on a resistive strip by the iteration method in the spectral domain.

S. I. Yang, Y. J. La, J. S. Jeon, D. S. Baek, U. J. Yoon

Dpt. of Electronic Engineering, Soong-Sil University

The induced currents on a uniform resistive strip by a H-polarized plane wave are obtained by the iteration method in the spectral domain and compared with the results by the moment method.

서 론:

레이더 신란단면을 줄이기 위하여 저항판이 사용될 수 있다 [1]. 저항판에 의한 진자파 신란에 관한 연구는 반평면인 경우에 저항이 일정하거나 [2], 저항이 변하는 경우 [3]에 되어있으며 일반적인 모양에 대해서는 수치적의 적인 방법으로 구할 수 있는데 moment method [4, 5]와 spectral domain에서의 반복법 [6]이 있는데 여기서는 주자의 방법으로 균일한 저항치를 갖는 저항판에 H 분극평면파가 입사될 때 저항판에 유도된 전류를 구하고자 한다. 일단 전류가 구해지면 이것으로부터 신란도도 구할 수 있게 된다. 또한 원전도체는 저항치가 0인 경우와 같으므로 원전도체인 경우도 개선하여 비교했다.

적분방정식 유도:

저항판이 그림(1)처럼 x-z 평면상에 놓여 있을 때 H 분극 평면파

$$\hat{H}^t = 2 \exp\{-ik(x \cos \theta + y \sin \theta)\} \quad (1)$$

가 입시되고 있다. 여기서 θ 는 입사각이며, 시간변화는 $\exp(-i\omega t)$ 를 가정하여 생략한다.

저항판의 경계조건은 다음과 같다 [1]

$$\begin{aligned} \hat{y} \times \bar{E} &= 0 \\ \hat{y} \times \bar{E} &= -RJ \\ \bar{J} &= \hat{y} \times \bar{H} \end{aligned} \quad (2)$$

여기서 J 는 유도전류이며, $[]$ 는 저항판 위, 아래면에서의 차이를 의미한다. 전제자기는 z방향만 있으므로 위 경계 조건을 다시쓰면

$$\left. \begin{aligned} E_y &= 0 \\ E_x &= RJ_x \\ J_x &= H_z \end{aligned} \right\} -w/2 \leq x \leq w/2 \quad (3)$$

식(1)로부터 입사전기 E 의 x방향 성분 E_x^t 는

$$E_x^t = 2 \sin \theta \exp\{-ik(x \cos \theta + y \sin \theta)\} \quad (4)$$

이며, 여기서 θ 는 주위매질의 특성임피던스이다. 또한 신란전개의 x 방향성분 E_x^s 는 (5)

$$E_x^s = Z/4k \frac{\partial}{\partial y} \int_{-\infty}^y J_x(x') H_0^{(1)}(kr) dx' \quad (5)$$

이며, 여기서 $H_0^{(1)}$ 는 zeroth order first kind Hankel 함수이며 k 는 자유공간에서의 전파상수이고 $r = \sqrt{(x-x')^2 + y^2}$ 임. 따라서 경계조건 (3)을 적용시키 다음과 같은 적분방정식을 얻게 된다.

$$\begin{aligned} E_x^t &= RJ(x) \\ -\lim_{y \rightarrow \infty} Z/4k \frac{\partial}{\partial y} \int_{-\infty}^y J(x') H_0^{(1)}(kr) dx' &= \end{aligned} \quad (6)$$

여기서 편의상 $J(x)$ 대신에 J 로 표시했으며, 이 식은 저항판 위에서 만족된다. 즉 $-w/2 \leq x \leq w/2$ 에서만 만족하게 된다.

스펙트럼 영역에서의 반복법:

스펙트럼 영역에서 문제를 풀기 위해서는 모든 x 에서 만족되는 확장 적분방정식(extruded integral equation)을 구해야 되는데 이는 저항판 바깥에서의 신란파를 포함시킴으로 가능하다. 즉, 구간 $(-\infty, -w/2]$

스펙트럼 영역에서 반복법을 이용한 저항띠의 유도전류 계산

2) 예시의 산란 전자파를 $E_1(x)$, 구간($w/2, \infty$)에서의 산란 전자파를 $\tilde{E}_1(x)$ 라 하고 각각의 Fourier 변환을 $\tilde{E}_1(\alpha)$, $\tilde{E}_2(\alpha)$ 라 하면 식(6)의 해장 적분방정식은 다음과 같다.

$$\Theta(E_x^i) = R\Theta(J) - E_x^i(x) - \tilde{E}_1(x) \\ - \lim_{y \rightarrow 0} Z/4k \frac{\partial}{\partial y} \int_{-\infty}^x |J(x')|^2 H_0^{(1)}(kr) dx' \quad (7)$$

여기서 Θ 는 truncation operator로서 (6)

$$\Theta(\bar{A}) = \int \bar{A}_t \delta(\bar{r} - \bar{r}_t) d\bar{r}, \quad \bar{r}_t \in S \quad (8)$$

여기서 δ 는 Dirac Delta 함수이다.

식(7)을 Fourier 변환시키면

$$\widetilde{\Theta}(E_x^i) = \widetilde{R}\Theta(\widetilde{J}) - \widetilde{E}_1(\alpha) - \widetilde{E}_2(\alpha) \\ - \lim_{y \rightarrow 0} Z/4k \frac{\partial}{\partial y} \widetilde{H}_0^{(1)} \widetilde{\Theta}(J) \quad (9)$$

여기서

$$H_0^{(1)} = 2 \exp(iy\sqrt{k^2 - \alpha^2}) / \sqrt{k^2 - \alpha^2} \quad (10)$$

$$\widetilde{\Theta}(E_x^i) = Z w \sin \theta \frac{\sin(w(k \cos \theta + \alpha)/2)}{w(k \cos \theta + \alpha)/2} \quad (11)$$

(9)식을 정리하면

$$(YR + \sqrt{k^2 - \alpha^2}/2k) \widetilde{\Theta}(J) = Y\widetilde{\Theta}(E_x^i) +$$

$$F\{F\{\widetilde{G}\Theta(J)\} - \Theta(F\{\widetilde{G}\Theta(J)\})\} \quad (12)$$

$$\widetilde{G} = \sqrt{k^2 - \alpha^2} / 2k \quad (13)$$

여기서 F 는 Fourier변환, F' 는 역 Fourier변환을 나타낸다.

반복법으로 구하기 위해서 J 의 n 번째 근사식 $J^{(n)}$ 와 $(n+1)$ 번째 근사식 $J^{(n+1)}$ 간계를 식(12)로 보티 다음과 같이 높을 수 있다 (6).

$$(YR + G) \widetilde{\Theta}(J^{(n)}) = Y\widetilde{\Theta}(E_x^i) \\ F\{F'\{\widetilde{G}\Theta(J^{(n)})\} - \Theta(F\{\widetilde{G}\Theta(J^{(n)})\})\} \quad (14)$$

여기서 초기치

$$J^{(0)} = Y\widetilde{\Theta}(E_x^i) / (YR + G) \quad (15)$$

계산결과 및 검토:

저항띠 폭의 약 4배의 주기를 갖고 반복되는 것으로 높아서 512점을 sampling하여 FFT를 했으며, 그림(2, 3, 4)에는 입사각 30°, 60°, 90°인 경우에 대해 각각 원천도체(자유공간의 임피던스로 정교화된 저항값 $YR=0$ 인 경우: 실선 표시)와 $YR=0.1$ (끊어진 실선 표시), $YR=0.5$ (점선 표시)인 저항띠의 유도전류 크기를 나타냈으며, *는 도체안 경우 moment method의 결과이다.

그림(5)에는 도체에서 입사각 90°일 때 전류의 위상을 moment method 결과와 비교하여 나타냈다.

참 고 문 헌

1. T.B.A. Senior, Some problems involving imperfect half plane, in "Electromagnetic Scattering" Edited by P.I.E. Uslenghi, p.18 5-219, Academic Press, New York, 1978.
2. T.B.A. Senior, Half plane edge diffraction, Radio Science, 10(6), p.645-650, 1975.
3. S.I.Yang, J.W.Ra, T.B.A. Senior, E-polarized scattering by a resistive half plane with linearly varying resistivity, to be published in Radio Science.
4. R.F.Harrington, Field computation by moment methods, Macmillan, New York, 1968.
5. S.I.Yang, A program for computation of the scattered field by a resistive strip, Proceedings of KIEE Fall Conference '87, p.133-135, 1987.
6. R.Mittra, W.Ko, Y.R.Samii, Transform Approach to Electromagnetic Scattering, Proceedings of the IEEE, vol.67, No.11, Nov. 1979.

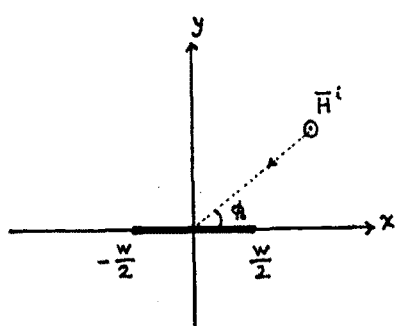


그림 1. 이차원 저항띠.

Fig. 1. A two-dimensional resistive strip.

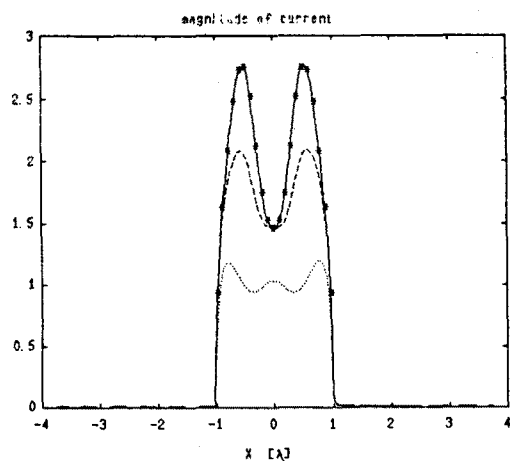


그림 2. 유도전류의 크기 ($\theta=90^\circ$).

Fig. 2. Magnitude of induced current.

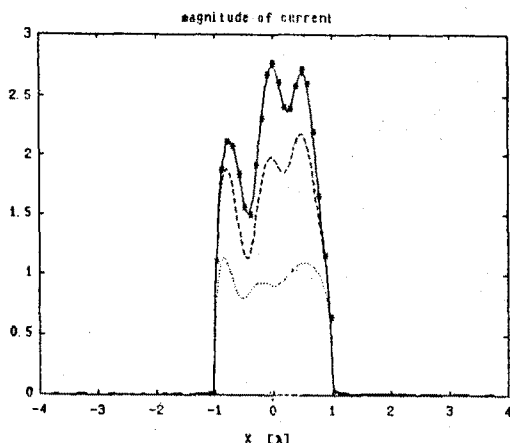


그림 3. 유도전류의 크기 ($\theta=60^\circ$).

Fig. 3. Magnitude of induced current.

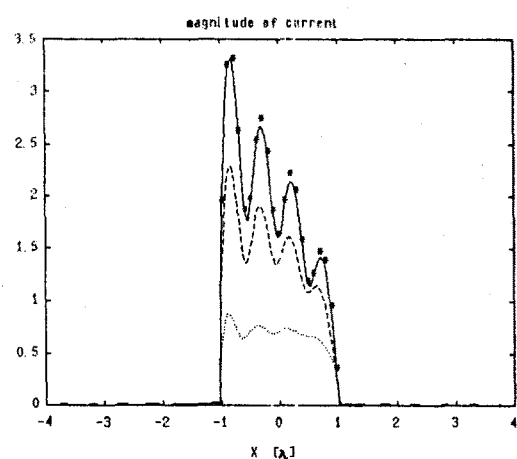


그림 4. 유도전류의 크기 ($\theta=30^\circ$).

Fig. 4. Magnitude of induced current.

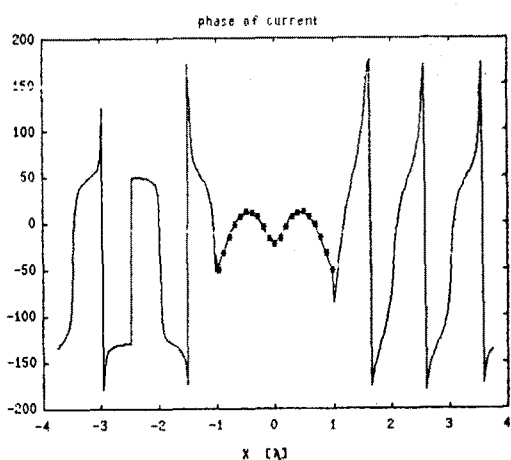


그림 5. 도체의 유도전류 위상 ($\theta=90^\circ$).

Fig. 5. Phase of induced current on conductor strip.